

RC版の断面の終局強度設計に関する二、三の考察

○ 北 大 正 員 角田与史雄  
 “ “ “ 堺 孝 司  
 “ “ “ 能 町 純 雄

1. まえがき

構造物の設計には弾性理論に基づき許容応力度法が伝統的に用いられている。しかし鉄筋コンクリート(以下ではRCと略す)のように力学的性質の異なる材料を組み合わせた複合体においては、弾性理論は実際の部材の耐荷性状と予備する結果とを与えることがあり、そのため現在でも部分物には終局強度理論が導入されている。弾性設計および終局強度設計はそれぞれに長所と短所をもち、いずれか一方に偏する設計法は不合理な面を生ずるのを避けることができないが、近年の世界的な研究の進展により、限界状態設計法の概念が定着し、その一環としての終局強度設計法の全面的導入が図られつつあり、我が国も現在その方向に移行する過渡期にある。しかし限界状態設計法を定着させるには、個々の部材の各限界状態に対する実用的な設計法を確立していく努力も今後とも積み重ねていく必要がある。

終局強度理論に基づきRC版の断面設計法については古くから多くの研究が行われ、これまでその基本的事項についてはすでに確立した体系化がなされている<sup>(1)</sup>。本研究はこれをRC版の断面設計に拡張したものである。この際、RC版においては主曲げモーメントの方向が必ずしも鉄筋方向と一致するとは限らぬため、鉄筋のせん断補強材としての特性により、仮え直交する2方向に等量の鉄筋を配置しても、曲げ方向によって変形量が大きく異なる性質があり、また終局時に2方向の鉄筋がともに降伏するとは限らぬ性質もある。従って本論は、これらの性質を考慮しようとする理論体系を立てるとともに、これらの終局曲げモーメントの大きさに対する影響について数値例をもつて検討を加える。

2. 仮定

以下に述べた方法は、任意の配筋方法に対して容易に拡張することができ、本文では実際の構造物に最も多く見られる直交2方向に配筋したRC版を例にとり述べる。版には通常2つの主曲げモーメント  $M_I$  および  $M_{II}$  が存在する。しかしこれを両者が同時に終局曲げモーメントに達することは稀である(そのような場合は各々に対してはり理論を準用すればよい)、以下では  $M_{II}$  のみか支配する場合を考え、その方向の終局曲げモーメントを  $M_u$  とする。図1に示すようにI方向に近い方の鉄筋の方向をS1、他方をS2とし、それぞれ方向の鉄筋比を  $\rho_1$  および  $\rho_2$  とする。また両方の鉄筋とも有効高さ  $d$  は等しいと考える。図1のような  $\theta$  の定義により、 $0 \leq \theta \leq 45^\circ$  の範囲を考えるだけですべての場合を包含できる。0°の場合には図1に見られるように、鉄筋の方向性のためI方向は力学的な対称軸とはならないので、一般に曲げひびきは  $M_{II}$  方向に生ずるとは限らぬ。しかしこのようなひびき方向の偏りは、終局曲げモーメントの大きさに対して必ずや影響を及ぼすと考えることができ、以下では  $\theta$  に関係なく、II方向の曲げひびきが生じているものとする。また、これと直角の方向のひびきが生じていないものとし、従ってI方向のひびき以外は微小であるので無視する。

主曲げモーメントの方向が鉄筋方向から偏ると、鉄筋にはせん断力が生ずる可能性がある。この現象は kinking と呼ばれており、終局曲げモーメントに対して十数%程度の影響があるという意見も、無視できる程小さいとする意見もあり、定説化されていない。そこでここでは安全側の近似とし

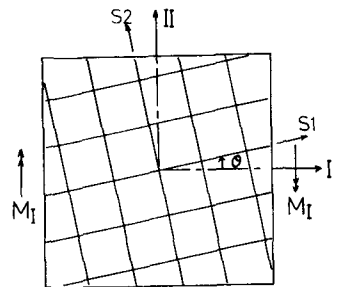


図.1

2, kinking の影響は無視する。

鉄筋の応力-ひずみ曲線は図-2 に示すように完全弾塑性体と仮定する。ただし RC はりの場合には鉄筋に終局引張ひずみ  $\epsilon_{su}$  を設けても、また設けなくても終局曲げモーメントに対する影響は微小であるので、完全弾塑性性に仮定しても問題ないが、RC 版の場合には後に示すように、鉄筋の降伏の有無との関連があるので、以下では  $\epsilon_{su}$  を設ける場合についても合わせて述べる。設計に用いる鉄筋の降伏強度は  $f_y$ 、ヤング率を  $E_s$  とする。

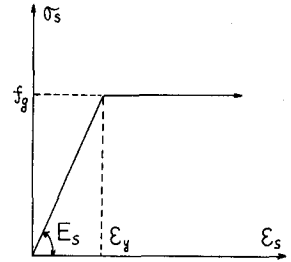


図.2

コンクリートの圧縮に対する応力-ひずみは、例として図.3 に示すように与えられており、設計に用いる強度を  $f_c$ 、終局圧縮ひずみを  $\epsilon_{cu}$  とする。また、この曲線によって得られる応力-ひずみ係数を  $\alpha$  とし  $\beta$  とする (図.4 参照)。

I 方向のひずみに対して平面保持の仮定が成り立つものとし、引張部のコンクリートの抵抗は無視する。

### 3. RC 版の断面の終局曲げモーメント

前節に述べた仮定に基づくと、終局時の I 方向のひずみおよび応力状態は図.4 に示すようになる。初めに鉄筋を完全弾塑性体と仮定する場合について考えれば、終局状態は常に圧縮線ひずみによって定まるので

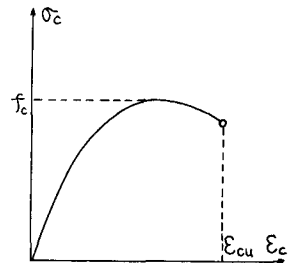


図.3

$$\epsilon_c = \epsilon_{cu} \quad (1)$$

となる。また、鉄筋位置の I 方向のひずみを  $\epsilon_{s1}$  とすれば、各鉄筋方向のひずみは次のようになる。

$$\epsilon_{s1} = \epsilon_{s1} \cos^2 \theta, \quad \epsilon_{s2} = \epsilon_{s1} \sin^2 \theta \quad (2)$$

従って鉄筋の応力は、 $\epsilon_{s1}$  の大きさと  $\theta$  との関連において次の3種の場合があり得る；

$$\epsilon_{s1} < \epsilon_y / \cos^2 \theta \quad \text{のとき} \quad \sigma_{s1} = E_s \epsilon_{s1} \cos^2 \theta, \quad \sigma_{s2} = E_s \epsilon_{s1} \sin^2 \theta \quad (3-1)$$

$$\epsilon_y / \cos^2 \theta \leq \epsilon_{s1} < \epsilon_y / \sin^2 \theta \quad \text{のとき} \quad \sigma_{s1} = f_y, \quad \sigma_{s2} = E_s \epsilon_{s1} \sin^2 \theta \quad (3-2)$$

$$\epsilon_{s1} \geq \epsilon_y / \sin^2 \theta \quad \text{のとき} \quad \sigma_{s1} = f_y, \quad \sigma_{s2} = f_y \quad (3-3)$$

これらの応力によって生じる I 方向の単位長さ当りの引張力はそれぞれ次のようになる；

$$T = d E_s \epsilon_{s1} (p_1 \cos^4 \theta + p_2 \sin^4 \theta) \quad (4-1)$$

$$T = d (p_1 f_y \cos^2 \theta + p_2 E_s \epsilon_{s1} \sin^4 \theta) \quad (4-2)$$

$$T = d f_y (p_1 \cos^2 \theta + p_2 \sin^2 \theta) \quad (4-3)$$

一方、曲げ圧縮力は下記のように表わされる；

$$C = \alpha R_c d f_c \quad (5)$$

まず、特別の場合として終局時に  $\epsilon_{s2} = \epsilon_y$  とする場合を考えれば、平面保持の仮定と力のつり合い条件  $C = T$  より鉄筋比が定数として定まる。これを  $\xi$  とし  $\zeta$  と表わせば

$$p_1^* = \frac{\alpha R_c^* f_c}{f_y \cos^2 \theta (1 + \zeta \tan^2 \theta)}, \quad R_c^* = \frac{E_{cu}}{E_{cu} + E_y / \sin^2 \theta}, \quad \zeta = \frac{p_2}{p_1} \quad (6)$$

もう一つ特別の場合として、終局時に  $\epsilon_{s1} = \epsilon_y$  とする場合を考えれば、上の場合と同様に式次が得られる。

$$\left. \begin{aligned} p_1^* &= \frac{\alpha R_c^* f_c}{f_y \cos^2 \theta (1 + \zeta \tan^2 \theta)} \\ R_c^* &= \frac{E_{cu}}{E_{cu} + E_y / \cos^2 \theta} \end{aligned} \right\} \quad (7)$$

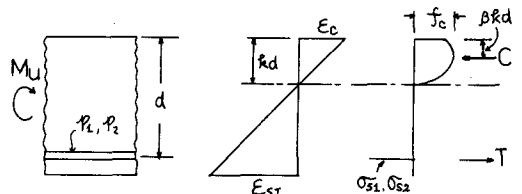


図.4

上記の  $p_{1b}^*$ ,  $p_{1b}^{**}$  は, RCはりにおけるつり合い鉄筋比に相当するものであるが, RC版において2個のつり合い鉄筋比が存在する点を特徴的の現象がある。

このようにつり合い鉄筋比を利用することは, 終局時の応力状態を次の3つの場合に区分できる(図.5参照)  
 領域A:  $p_1 \leq p_{1b}^*$  — この場合には  $\epsilon_{s1} \geq \epsilon_y$ ,  $\epsilon_{s2} \geq \epsilon_y$  であるので(3-3)式および(5)式より

$$M_u = \alpha R d^2 f_c (1 - \beta R) = f_y d^2 p_1 \cos^2 \theta (1 + \xi \tan^2 \theta) (1 - \beta R), \quad R = \frac{f_y p_1 \cos^2 \theta (1 + \xi \tan^2 \theta)}{\alpha f_c} \quad (8)$$

領域B:  $p_{1b}^* < p_1 \leq p_{1b}^{**}$  — この場合には  $\epsilon_{s1} \geq \epsilon_y$ ,  $\epsilon_{s2} < \epsilon_y$  であるので(3-2)式および(4)式より

$$M_u = \alpha R d^2 f_c (1 - \beta R) = f_y d^2 p_1 \cos^2 \theta \left\{ 1 + \xi \frac{E_s E_{cu}}{f_y} \sin^2 \theta \tan^2 \theta \frac{1 - R}{R} \right\} (1 - \beta R)$$

$$R = A + \sqrt{A^2 + B}, \quad A = \frac{f_y p_1 \cos^2 \theta}{2 \alpha f_c} \left\{ 1 - \xi \frac{E_s E_{cu}}{f_y} \sin^2 \theta \tan^2 \theta \right\}, \quad B = \frac{p_1 E_s E_{cu} \sin^4 \theta}{\alpha f_c} \quad (9)$$

領域C:  $p_1 > p_{1b}^{**}$  — この場合には  $\epsilon_{s1} < \epsilon_y$ ,  $\epsilon_{s2} < \epsilon_y$  であるので(3-1)式および(5)式より

$$M_u = \alpha R d^2 f_c (1 - \beta R) \quad (10)$$

$$R = \sqrt{A^2 + 2A} - A, \quad A = \frac{p_1 E_s E_{cu} \cos^4 \theta (1 + \xi \tan^4 \theta)}{2 \alpha f_c}$$

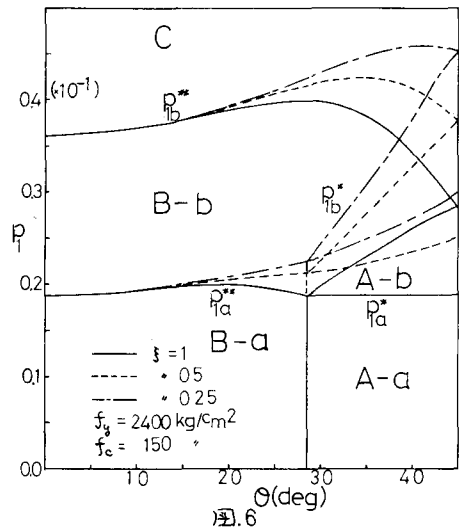
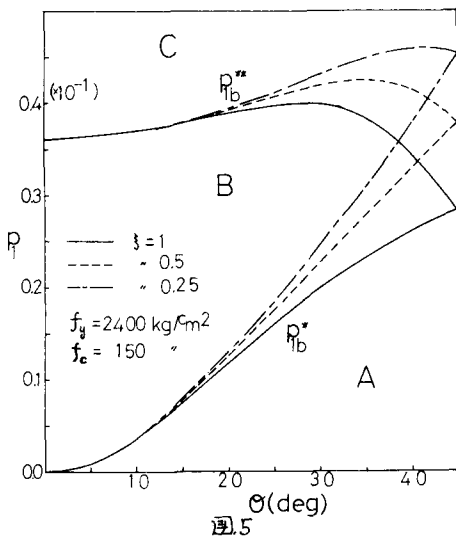
次に, 鉄筋の終局ひずみを設けた場合について述べる。ただしRCはりの場合には鉄筋のひずみを制御することはよいか, RC版に適用することは, その過大の變形やひびく水幅を制御するという目的のために,  $\epsilon_{s1}$  にある制限値  $\epsilon_{su1}$  を設けなくてはならない。まず, 上述の領域Aにおいて,  $\epsilon_{s1} = \epsilon_{su1}$  とした特別の場合を考慮し, (2)式を利用し, 平均保荷力のつり合い条件より, 鉄筋比がある定数として定まる。これを  $\epsilon_{s1}$  方向の鉄筋比  $p_{1a}^*$  とし表せば

$$p_{1a}^* = \frac{\alpha R_a^* f_c}{f_y \cos^2 \theta (1 + \xi \tan^2 \theta)}, \quad R_a^* = \frac{E_{cu}}{E_{cu} + \epsilon_{su1}} \quad (11)$$

同様に上述の領域Bに對して  $\epsilon_{s1} = \epsilon_{su1}$  の条件より定まる鉄筋比は次のようになる:

$$p_{1a}^{**} = \frac{\alpha R_a^* f_c}{f_y \cos^2 \theta (1 + \xi E_s E_{su1}^* \sin^2 \theta \tan^2 \theta / f_y)} \quad (12)$$

これより,  $\epsilon_{su1}$  が設けられるときの領域は, 図.6の例に見られるように, 5つに区分される。



なお、図5の領域Aのうち、 $\theta < \theta^*$ の部分(図.6)を領域Bに移す。ESLの制限のためにS2方向の鉄筋が終局時に降伏し、降伏した領域が増えるためであり、 $\theta^*$ の値は(2)式より次のように定まる。

$$\theta^* = \sin^{-1} \sqrt{\frac{E_y}{E_{SL}}} \quad (13)$$

各領域における終局曲げモーメントは、次式により求められる；

領域A-a:  $p_1 < p_{1a}^*$ かつ  $\theta \geq \theta^*$  — この場合には  $E_{SL} \geq E_y$ ,  $E_{S2} \geq E_y$  であるが、 $E_{SL} = E_{SLU}$ ,  $E_c < E_{cu}$  であるので、応力ブロック係数 $\alpha'$ および $\beta'$ の値は、下記と与えられる。 $E_c$ の値とコンクリートの応力-ひずみ曲線の形状とにより、試算的に定めなければならない：

$$\left. \begin{aligned} M_u &= f_y d^2 p_1 \cos^2 \theta (1 + \xi \tan^2 \theta) (1 - \beta' r) \\ r &= f_y p_1 \cos^2 \theta (1 + \xi \tan^2 \theta) / \alpha' f_c, \quad E_c = E_{SLU} r / (1 - r) \end{aligned} \right\} \quad (14)$$

領域A-b:  $p_{1a}^* \leq p_1 \leq p_{1b}^*$  — この場合は  $E_{SL} \geq E_y$ ,  $E_{S2} \geq E_y$ ,  $E_c = E_{cu}$  であるから(8)式を用いる。

領域B-a:  $p_1 < p_{1a}^*$ かつ  $\theta < \theta^*$  — この場合は  $E_{SL} \geq E_y$ ,  $E_{S2} < E_y$ ,  $E_{SL} = E_{SLU}$ ,  $E_c < E_{cu}$  となる。従って

$$\left. \begin{aligned} M_u &= \alpha' r d^2 f_c (1 - \beta' r) \\ r &= p_1 f_y \cos^2 \theta (1 + \xi \frac{E_y}{E_{SLU}} \sin^2 \theta \tan^2 \theta) / \alpha' f_c, \quad E_c = E_{SLU} r / (1 - r) \end{aligned} \right\} \quad (15)$$

領域B-b:  $p_1 \geq p_{1a}^*$ ,  $p_1 > p_{1b}^*$ かつ  $p_1 \leq p_{1b}^*$  — この場合は  $E_{SL} \geq E_y$ ,  $E_{S2} < E_y$ ,  $E_c = E_{cu}$  であるので、(9)式が適用される。

領域C:  $p_1 > p_{1b}^*$  — この場合は  $E_{SL} < E_y$ ,  $E_{S2} < E_y$ ,  $E_c = E_{cu}$  であり(9)式が適用される。

#### 4. 数値計算例および考察

以下の数値例に示すのは、コンクリートの応力-ひずみ曲線として、藤田<sup>(2)</sup>提案している2次放物線と直線の組み合わせを用いる ( $\alpha = 0.8$ ,  $\beta = 0.412$ , 圧縮塑性係数  $\gamma = 0.6$ )。ただし、終局圧縮ひずみ  $\epsilon_{cu} = 0.3\%$  による  $E_{SL}$  の制限値を  $E_{SLU} = 0.5\%$  に固定した。

図.7, 8はそれぞれ、 $E_{cu} = 0.3\%$  の鉄筋を完全弾性体とした場合の  $\xi = 1, 0.5$  の鉄筋降伏応力による領域A, B, Cの変化を示したものである。鉄筋降伏応力の増大に伴い、二方向の鉄筋が降伏した領域Cが増大し、S1方向の鉄筋のみが降伏する領域Bおよび両方向の鉄筋が降伏する領域Cは減少する。

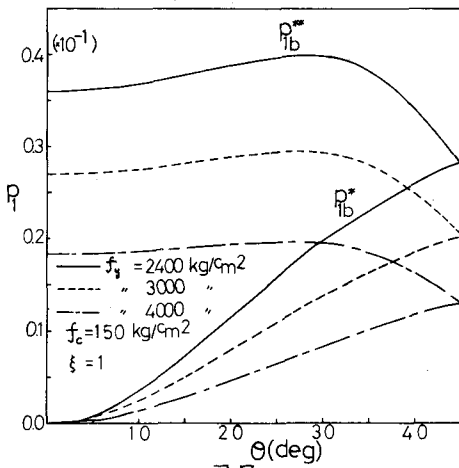


図.7

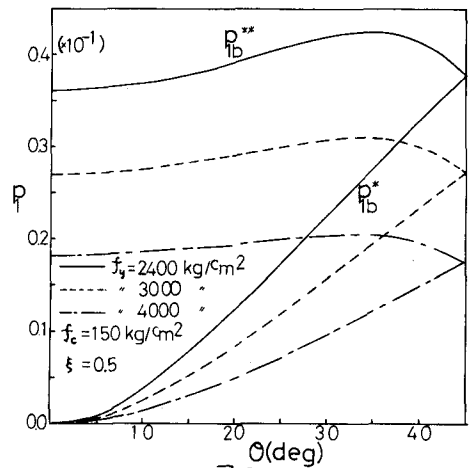


図.8

RCスラブの場合のつり合い鉄筋比で特徴的なのは、鉄筋方向 $\theta$ の増加とともに、 $\mu_{12}$ がゆるやかに増加を見せ、ある角度でピークとなり減少し始めることであり、その性状は鉄筋比 $\rho_1$ と $\rho_2$ の比に依存している。この影響は、 $\theta$ の小さなほうはあまりなく、 $\theta$ の増加と共に現れ、 $\rho_1$ の減少によって領域Cが減少し、逆に領域Aが増加し、それに伴い領域Bはその範囲を変化させる(図5参照)。

図9, 10は、 $f_c = 150 \text{ kg/cm}^2$ ,  $f_y = 2400, 4000 \text{ kg/cm}^2$ の場合の終局曲げモーメント  $M_u$  を図示したものである。図中の実線はJohansenの降伏曲げモーメントを示す ( $M_u = m_1 \cos^2 \theta + m_2 \sin^2 \theta$ ,  $m_1, m_2$ : 鉄筋方向の終局曲げモーメント)。全体的に見て、あまり大きな差はないようである。図9の  $\rho_1 = \rho_2 = 0.03$  の場合、 $\theta = 45^\circ$  で両者の値が一致しているのは、 $\theta$  が約  $43^\circ$  を越えたとつり合い鉄筋比  $\mu_{12}$  が3%より小さくとなり、領域Cに入ってしまったためである(図7参照)。この場合Johansenの降伏曲げモーメントは実質上意味をもたないで、比較の対象とならない、同様のことは、図10の  $\rho_1 = \rho_2 = 0.02, 0.03$  の場合についても言うことができ、図7の一点鎖線  $\mu_{12}$  が  $\rho_1 = 0.02$  以下になり  $\theta = 0^\circ$  においても領域Cとなり、Johansenの降伏曲げモーメントの適用外となる。

図11, 12は、S1, S2方向の鉄筋の終局時のひずみ状況を示したものであり、鉄筋の方向角 $\theta$ の増加に伴いS2方向のひずみが徐々に大きくなり、 $\theta = 45^\circ$  で  $\epsilon_{S1} = \epsilon_{S2}$  となる。

図13, 14は、 $\epsilon_{cu} = 0.3\%$  に加えて、コンクリートの引張面のI方向のひずみ  $\epsilon_{SI}$  に  $\epsilon_{SIU} = 0.5\%$  の制限を設けた場合のつり合い鉄筋比を示したものである。この場合、鉄筋の降伏応力の増大と共に、領域B-bおよびA-aが小さくなり、それに伴って領域Cが増加する。

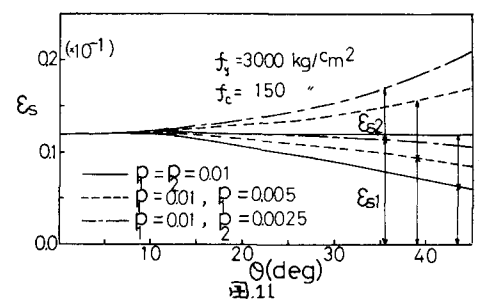
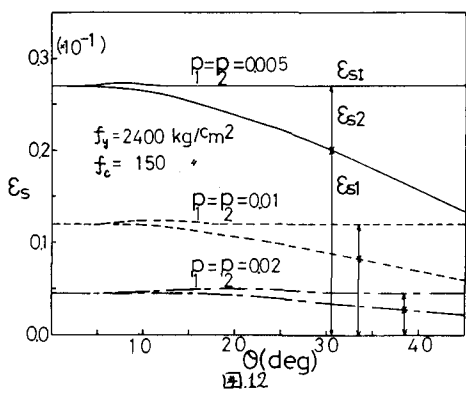
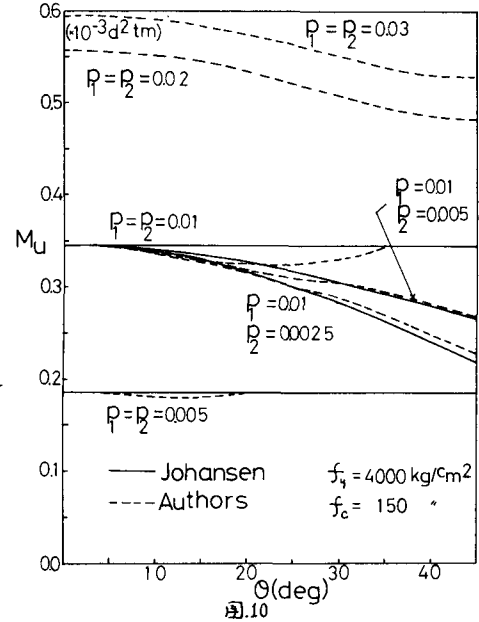
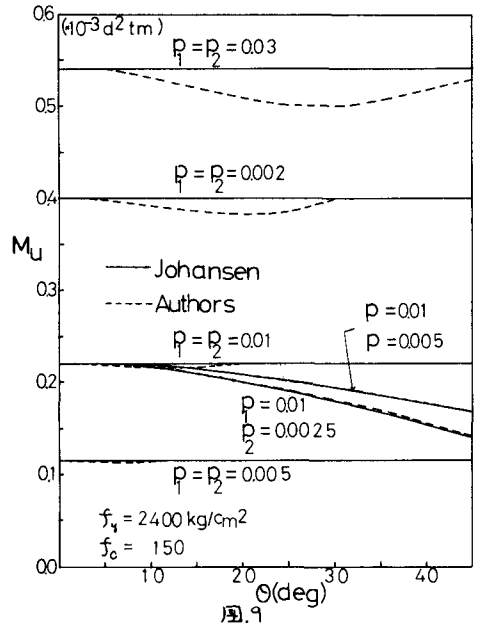


図15, 16は,  $f_c = 200 \text{ kg/cm}^2$ ,  $f_y = 2400, 4000 \text{ kg/cm}^2$  の場合の終局曲げモーメントを,

Johansenの降伏曲げモーメントと共に図示したものである。Esu=0.5%の制限を設けた場合, それを設けない場合と比べて, 両者の差はいく分大きくはることをわかる。これは, 本方法による終局曲げモーメントが

Esuの制限によって, 小さくはるためである。図16の  $p_1 = p_2 = 0.02 = 0.03$  の場合のJohansenの降伏曲げモーメントとの関係は既に述べたことと同じである。

以上よりとると, 終局時に二方向とも鉄筋が降伏しない領域は一般的に見て  $\theta = 45^\circ$  に近い部分で大きくはる, 圧縮部のコンクリートに対してき

しくはることは, 鉄筋が一方向しか降伏しない領域は  $\theta = 30^\circ$  前後以下のみであり, 広い領域に及びはることは, しかし通常用いられる鉄筋比程度では終局曲げモーメントに対する影響はあまりはることは, 確かである。

(参考文献)

1. 角田 史雄; 鉄筋コンクリート部材の塑性状 (その1), コンクリートライブラリー, 34号, 8, 1972
2. 藤田 嘉夫; 単軸曲げを受ける鉄筋コンクリート桁ぶたのプレストレスコンクリート桁の種別強工設計法に對する研究, 北大工学部研究報告, 32号, 1963

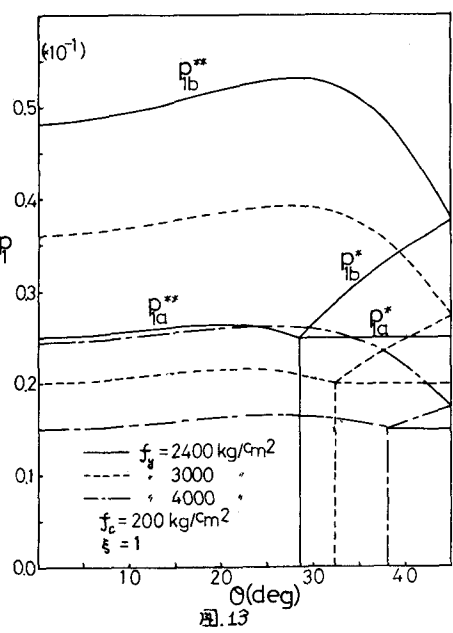


図13

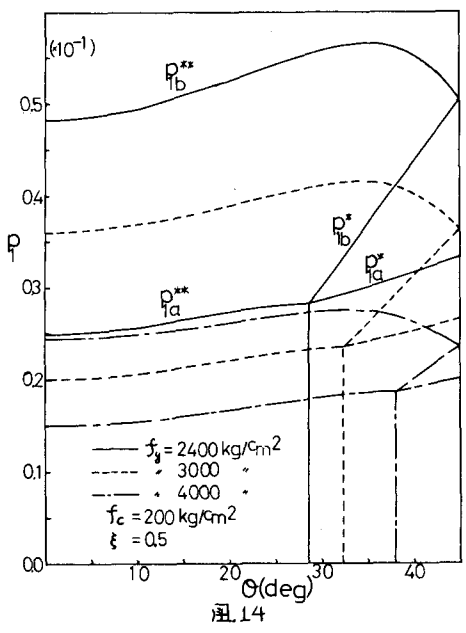


図14

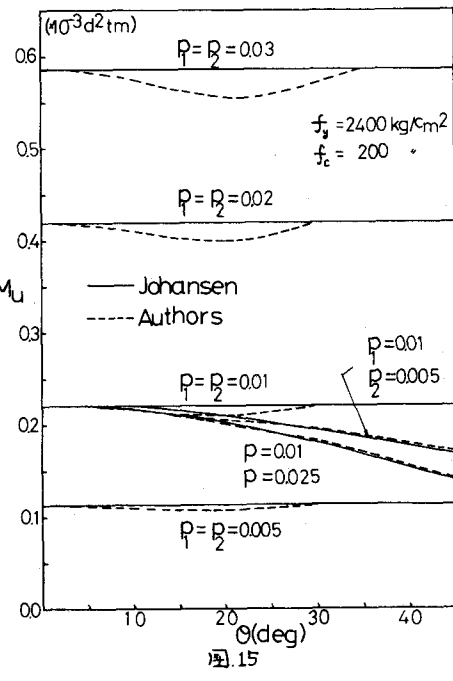


図15

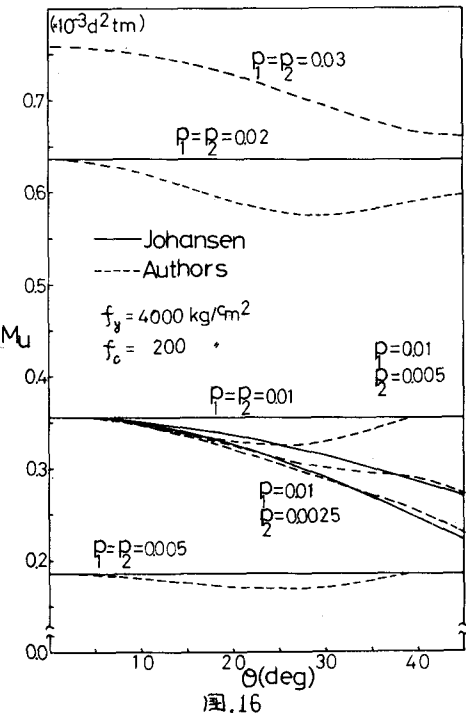


図16